

## ГЕНЕРАТОР СТУПЕНЧАТОГО НАПРЯЖЕНИЯ С УПРАВЛЯЕМЫМ КОЭФФИЦИЕНТОМ ПРЕОБРАЗОВАНИЯ

В. К. ЖУКОВ, И. И. ТОЛМАЧЕВ, Ю. А. КИЛИН

(Представлена научным семинаром кафедры информационно-измерительной техники)

В работе описан генератор равномерно-ступенчатого напряжения ГСН, примененный в импульсном вольтметре развертывающего уравновешивания.

Построение ГСН на малое число ступенек возможно осуществить с помощью реле или электронных пороговых устройств. При работе в амплитудном вольтметре число ступенек ГСН определяет число уровней квантования измеряемого входного напряжения, т. е. определяет погрешность от дискретности. Для трехразрядного вольтметра было выбрано число импульсов  $N=1000$ , что соответствует погрешности от дискретности  $\gamma_d=0,1\%$ . Для построения ГСН на такое число импульсов наиболее приемлемым является описанный в [1] ГСН на основе емкостного делителя (рис. 1).

Рис. 1. Генератор ступенчатого напряжения на основе емкостного делителя.

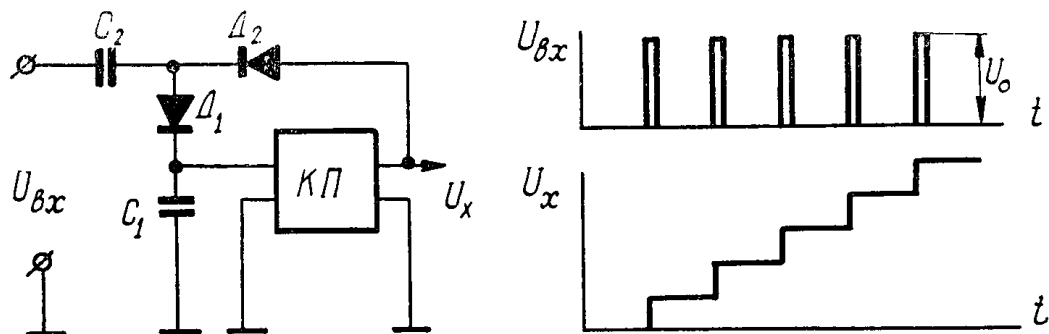
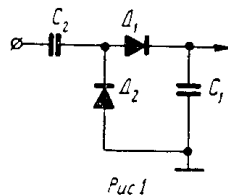


Рис. 2. Генератор ступенчатого напряжения на основе емкостного делителя с катодным повторителем.

На вход ГСН поступают прямоугольные импульсы постоянной амплитуды  $U_0$ . Диод  $D_1$  открыт для положительных входных импульсов, и конденсаторы  $C_1$  и  $C_2$  образуют емкостной делитель напряжения. При прохождении первого импульса напряжения на выходе ГСН

$$\Delta U_1 = U_0 \cdot \frac{C_2}{C_1 + C_2} : \quad (1)$$

В промежутке между первым и вторым импульсами диод  $D_2$  открывается и конденсатор  $C_2$  разряжается. Диод  $D_1$  в это время закрыт и напряжение  $\Delta U_1$  на емкости  $C_1$  изменяется незначительно, если сопротивление нагрузки велико. Второй входной импульс увеличивает напряжение на конденсаторе  $C_2$  еще на одну ступеньку

$$\Delta U_2 = \frac{C_2}{C_1 + C_2} \cdot (U_0 - \Delta U_1) . \quad (2)$$

После прихода  $N$ -ого импульса напряжение на выходе увеличится на

$$\Delta U_N = \frac{C_2}{C_1 + C_2} \cdot \left( U_0 - \sum_{i=1}^{N-1} \Delta U_i \right) . \quad (3)$$

Отсюда видно, что с увеличением  $N$  величина ступеньки уменьшается. Возникающая по этой причине погрешность ГСН будет мала, если

$$N \cdot \Delta U_1 \ll U_0, \quad (4)$$

Однако при этом коэффициент использования прямоугольного импульса будет мал. Для устранения указанного недостатка в схему между анодом диода  $D_2$  и землей включается катодный повторитель, вход которого подключен к выходу ГСН, а выход к аноду диода  $D_2$ . Теперь после прохождения первого импульса конденсатор  $C_2$  через открытый диод  $D_2$  и выходное сопротивление катодного повторителя разрядится не до нуля, а до напряжения

$$U_{c_2} = \Delta U_1 \cdot K_{kp}, \quad (5)$$

где  $K_{kp}$  — коэффициент передачи по напряжению катодного повторителя.

В случае, если  $K_{kp}=1$ , то вторая ступенька выходного напряжения

$$\Delta U_2 = \frac{C_2}{C_1 + C_2} (U_0 + U_{c_2} - \Delta U_1) = \frac{C_2}{C_1 + C_2} \cdot U_0 = \Delta U_1. \quad (6)$$

$N$ -ная ступенька выходного напряжения

$$\begin{aligned} \Delta U_N &= \frac{C_2}{C_1 + C_2} \cdot (U_0 + U_{c_2} - \Delta U_{N-1}) = \frac{C_2}{C_1 + C_2} \times \\ &\times (U_0 + \Delta U_{N-1} - \Delta U_{N-1}) = \Delta U_1, \end{aligned} \quad (7)$$

то есть все ступеньки будут равны.

Основная погрешность ГСН возникает вследствие того, что коэффициент передачи по напряжению катодного повторителя  $K_{kp} \neq 1$ .

Возможны варианты построения ГСН на лампе и на полевом транзисторе. Генератор с использованием катодного повторителя на пентоде обладает большим входным сопротивлением и лучшими частотными свойствами, что позволяет подавать на его вход короткие импульсы с высокой частотой следования. У полевых транзисторов по сравнению с пентодом хуже частотные свойства и высока температурная нестабильность. Поэтому в данной работе исследуется ГСН с катодным повторителем на пентоде.

Принципиальная схема ГСН изображена на рис. 3. Схема управления амплитудой импульсов, поступающих на вход ГСН, собрана на транзисторах  $T_1$  и  $T_2$ . На транзисторе  $T_2$  собран эмиттерный повторитель, который повторяет напряжение, задаваемое на его базе при помощи делителя из магазина Р58 и сопротивления  $R_9$ . Этот повторитель

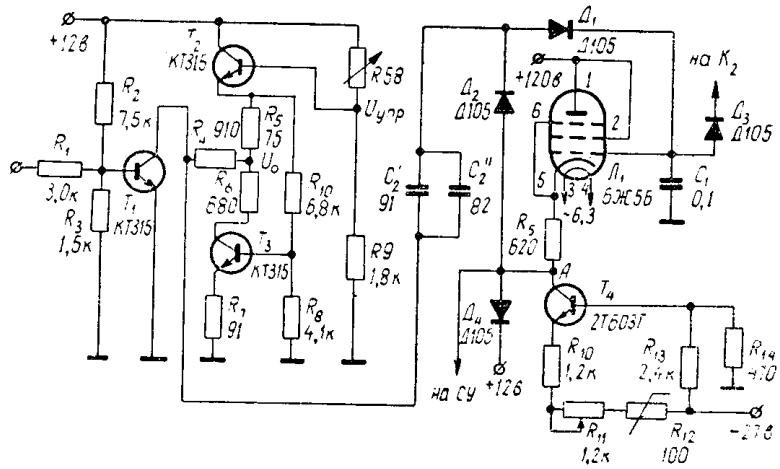


Рис. 3. Принципиальная схема ГСН.

задает напряжение питания для транзистора  $T_1$ , работающего в ключевом режиме. Изменяя напряжение на базе транзистора  $T_2$ , изменяем амплитуду импульса на коллекторе транзистора  $T_1$ . Транзистор  $T_3$  служит для уменьшения нелинейности характеристики управления коэффициентом преобразования ГСН.

Собственно ГСН собран на емкостях  $C_1$ ,  $C_2'$ ,  $C_2''$  и диодах  $D_1$  и  $D_2$ . Равномерность ступенчатого напряжения достигается за счет включения катодного повторителя на пентоде. Особенностью схемы катодного повторителя является то, что в схему включена динамическая нагрузка на транзисторе  $T_4$ , который включен по схеме с общей базой и работает как стабилизатор тока.

В исходном состоянии накопительная емкость разряжена и потенциал сетки равен нулю. С помощью сопротивления  $R_{11}$  на выходе катодного повторителя (в точке А) устанавливается нулевой потенциал. Диод  $D_4$  служит для защиты транзистора  $T_4$  и ограничивает его коллекторное напряжение на уровне +12 в.

Блок-схема испытания ГСН и временные диаграммы изображены на рис. 4. В исходном состоянии ключ  $K_1$  закрыт и шунтирует переход коллектор-эмиттер транзистора в одном из плеч симметричного мультивибратора, работающего в качестве генератора импульсов (ГИ), обеспечивая, таким образом, срыв генерации. Ключ  $K_2$  также открыт и разряжает емкость  $C_1$  в ГСН. Рабочий ход начинается с того, что генератор однократных импульсов (ГОИ) по команде оператора выдает короткие импульсы, которые переворачивают триггер  $T_g$  в положение 1. Ключи  $K_1$  и  $K_2$  закрываются, и ГИ начинает выдавать на вход ГСН прямоугольные импульсы. На каждый входной импульс ГСН выдает на выходе ступеньку напряжения  $\Delta U$ . С выхода ГСН ступенчатое напряжение  $U_x$  подается на сравнивающее устройство (СУ), где оно сравнивается с эталонным напряжением  $U_e$ . В момент времени, когда  $U_e = U_x$ , СУ срабатывает и выдает короткие импульсы, которые опрокидывают триггер в положение 0. Схема приходит в исходное состояние, при этом на счетчик импульсов (СИ) проходит пакет импульсов, число которых равно числу ступенек в выходном напряжении ГСН.

Число импульсов, поступивших на вход ГСН, можно определить как

$$N = \frac{U_e}{\Delta U}. \quad (8)$$

Подставляя в (8)  $\Delta U$  из (7), получаем

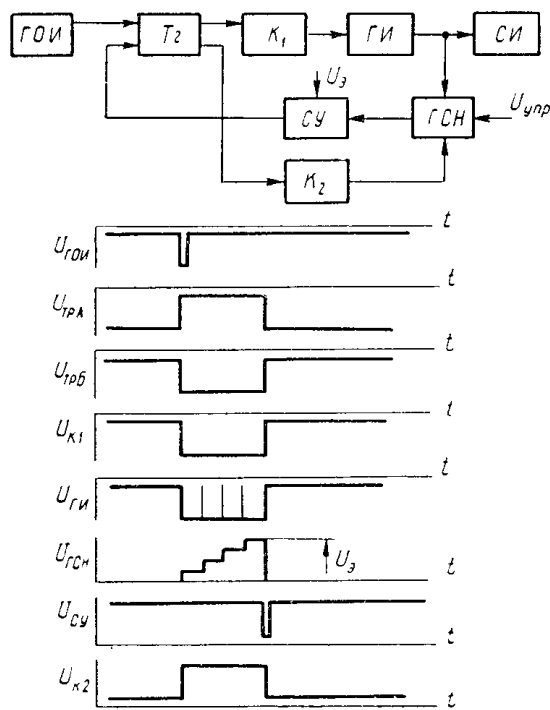


Рис. 4. Блок-схема испытания ГСН и временные диаграммы.

$$N = \frac{U_3}{U_0} \cdot \frac{C_1 + C_2}{C_2}. \quad (9)$$

Отсюда видно, что число импульсов на входе ГСН прямо пропорционально эталонному напряжению на СУ и обратно пропорционально амплитуде входных импульсов. Таким образом, регулируя амплитуду входных импульсов  $U_0$ , можно изменять коэффициент преобразования ГСН и измерять отношения напряжений.

Основной погрешностью ГСН является нелинейность характеристики  $N=f(U_3)$ , возникающей из-за того, что коэффициент передачи катодного повторителя  $K_{kp} \neq 1$ . Результаты испытаний ГСН на нелинейность показаны на рис. 5. При этом реальные значения  $N_d$  сравнива-

| $U_3$ | 0 | 1   | 2    | 3    | 4    | 5    | 6    | 7    | 8    | 9    | 10   |
|-------|---|-----|------|------|------|------|------|------|------|------|------|
| $N_g$ | - | 93  | 186  | 278  | 357  | 458  | 549  | 641  | 732  | 824  | 918  |
| $N_t$ | - | 9.2 | 18.4 | 27.5 | 36.6 | 45.9 | 55.0 | 64.2 | 73.4 | 82.6 | 91.8 |
| $\xi$ | % | 1,1 | 1,05 | 1,1  | 0,3  | 0,24 | 0,19 | 0,16 | 0,23 | 0,26 | 0    |

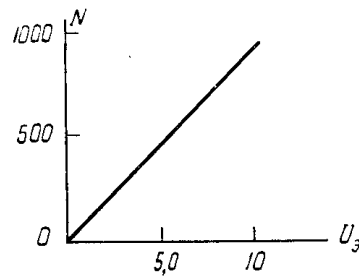


Рис. 5. Испытания ГСН на нелинейность.

лись со значениями точек, лежащих на аппроксимирующей прямой, проведенной по двум крайним точкам ( $U_3=0$  и  $U_3=10$  в). Из таблицы

видно, что максимальная относительная погрешность  $\gamma_{\text{отн max}} = 1,1\%$ , а максимальная приведенная погрешность

$$\gamma_{\text{прив max}} = \frac{278 - 275}{918} \cdot 100\% = 0,3\%.$$

Возникновение температурной погрешности ГСН обусловлено, в основном, тремя факторами:

1. При влиянии температуры изменяются величины емкостей  $C_1$ ,  $C_2'$ ,  $C_2''$ , изменяется соотношение  $\frac{C_2' + C_2''}{C_1 + C_2' + C_2''}$ , то есть изменяется величина ступеньки  $\Delta U$  генератора. Для устранения этого явления ТКЕ конденсаторов выбраны таким образом, что при изменении температуры отношение  $\frac{C_2' + C_2''}{C_1 + C_2' + C_2''}$  изменяется слабо. Для этого были выбраны

$$\begin{aligned} C_1 &= 0,1 \text{ мкф}, \quad \text{TKE} = -0,0075 \% / \text{град}, \\ C_2' &= 91 \text{ пф}, \quad \text{TKE} = -0,0050 \% / \text{град}, \\ C_2'' &= 8,2 \text{ пф}, \quad \text{TKE} = -0,07 \% / \text{град}. \end{aligned}$$

2. При увеличении температуры возрастает тепловой ток транзистора  $T_4$  и увеличивается потенциал точки А (рис. 3), что эквивалентно увеличению эталонного напряжения  $U_0$ . Для получения хорошей температурной стабильности генератора тока в эмиттер транзистора  $T_4$  включается термосопротивление с положительным ТКС, намотанное из медного провода, которое компенсирует увеличение теплового тока транзистора при увеличении температуры.

3. При увеличении температуры увеличиваются токи утечки диодов  $D_1$  и  $D_2$ , что может вызвать разряд емкости  $C_1$  в паузе между импульсами. Для устранения этого были выбраны кремниевые диоды  $D_{105}$  с малыми токами утечки.

Результаты испытания ГСН на температурную нестабильность показаны на рис. 6. Кривая носит ярко нелинейный характер, так как в процессе принимают участие несколько температурозависимых элементов. Из графика рис. 6 видно, что в диапазоне температур  $(20 \div 50)^\circ\text{C}$  ГСН обладает температурной погрешностью, не превышающей  $\pm 0,2\%$ .

Для определения характеристики управления коэффициентом преобразования было задано  $U_0 = 10 \text{ в} = \text{const}$ . Тогда выражение (9) можно представить

$$N = \frac{U_0}{U_0} \cdot \frac{C_1 + C_2}{C_2} = \frac{K}{U_0}, \quad (10)$$

где  $K$  — постоянный коэффициент.

| $t^\circ\text{C}$ | 20    | 25  | 30   | 35   | 40   | 50    |
|-------------------|-------|-----|------|------|------|-------|
| $N$               | 917   | 918 | 920  | 919  | 919  | 917   |
| $\gamma \%$       | -0,11 | 0   | 0,11 | 0,21 | 0,11 | -0,11 |

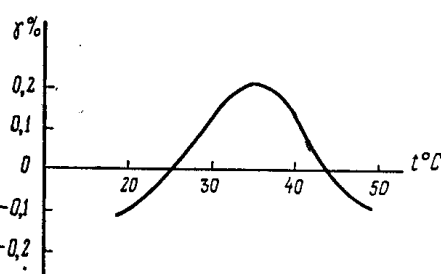


Рис. 6. Испытания ГСН на температурную нестабильность.

| $U_0$       | 6   | 8,0   | 9,0   | 10,0  |
|-------------|-----|-------|-------|-------|
| $N$         | -   | 1467  | 1310  | 1185  |
| $K$         | -   | 11750 | 11800 | 11840 |
| $\gamma \%$ | 0,4 | 0     | 0,35  |       |

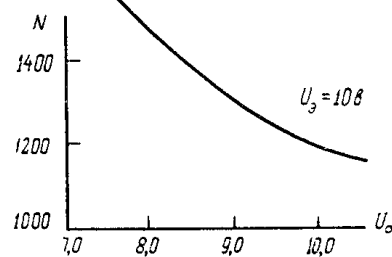


Рис. 7. Характеристика управления коэффициентом преобразования.

Зависимость  $N=f(U_o)$  при  $U_g=\text{const}$  изображена на рис. 7. Принимая среднюю точку (при  $U_o=9$  в) за эталонный, рассчитываем для нее коэффициент.

$$K=N \cdot U_o = 1310 \cdot 9,0 = 11\,800.$$

Сравнивая эту величину с коэффициентами на краях диапазона (при  $U_o=8$  в и 10 в), находим, что максимальная нелинейность коэффициента составляет  $\gamma_{K \max}=0,4\%$ .

#### Л И Т Е Р А Т У Р А

1. П. П. Орнатский. Автоматические измерительные приборы. Киев, «Техника», 1965.

---